1,5-环辛二烯(乙酰丙酮)铱(I)的合成及结构表征

侯文明,李艳琼,陈兴飞,蒋婧,晏彩先*

(昆明贵金属研究所,贵研铂业股份有限公司 稀贵金属综合利用新技术国家重点实验室,昆明 650106)

摘 要:在四氢呋喃介质中,将 1,5-环辛二烯氯化铱(I)二聚体(I)二聚体(I)与乙酰丙酮加热回流,一步合成了 1,5-环辛二烯(乙酰丙酮)铱(I) [I(I(I)],产率 I(I) 88.6%。用元素分析、红外光谱(I)和核磁共振(I)H-NMR、I3C-NMR)等分析,结果表明产物为目标化合物。

关键词: 有机化学; 1,5-环辛二烯(乙酰丙酮)铱(I); 合成; 结构

中图分类号: O627.8 文献标识码: A 文章编号: 1004-0676(2017)S1-0124-03

Synthesis and Characterization of (Acetylacetonato)(1,5-cyclooctadiene)iridium(I)

HOU Wenming, LI Yanqiong, CHEN Xingfei, JIANG Jing, YAN Caixian*

(Kunming Institute of Precious Metals, State Key Laboratory of Advanced Technologies for Comprehensive Utilization of Platinum Metals, Sino-Platinum Metals Co. Ltd., Kunming 650106, China)

Abstract: Ir(acac)(cod) was synthesized in one-step process from [Ir(cod)Cl]₂ in tetrahydrofuran by adding Hacac as the anion ligand. The yield was 88.6%. Structure of the complexes have been represented by the structural analytical methods like elemental analysis, ¹H-NMR, ¹³C-NMR, IR, then their chemical construction were confirmed finally.

Key words: organic chemistry; (acetylacetonato)(1,5-cyclooctadiene)iridium(I); synthesis; structure

金属有机化学气相沉积(MOCVD)法是制备铱涂层较为有效的方法之一。研究表明,以铱金属的卤化物进行沉积源制备铱膜的沉积效率很低 $^{[1]}$ 。相比之下,Machin $^{[2]}$ 曾用 IrF_6 作为铱源进行沉积, IrF_6 是一个较为理想的沉积源,可以制备 50 μ m 的沉积层。但 IrF_6 在常温下不稳定,沉积速度慢,致使沉积层具有多孔结构,呈现出与基体不相粘附的粉末状。近几年不断研究开发新的具有更好挥发性的铱金属有机前驱体,如 Yan 等 $^{[3]}$ 采用新的 β -二酮前驱体 $Ir(thd)_3$ 作为铱源,沉积温度为 350-500°C,获得了致密的 Ir 薄膜。Morozova 等 $^{[4]}$ 研究了 Ir(I)的可以做铱沉积源的前驱体化合物,如 Ir(Cp')(cod)、 $Ir(Cp^*)(CO)_2$ 、Ir(acac)(cod)、 $Ir(acac)(CO)_2$ 。通过相关热性质测试,4个化合物的升华温度为 $Ir(Cp^*)(cod)$ (168°C)>Ir(acac)(acac)(acac)acac0 acac0 acac

>Ir(acac)(cod) (283℃),这些升华温度值均适宜做 MOCVD 前驱体化合物。这些铱前驱体的蒸汽压较高,在蒸汽传送过程中非常稳定。但相关文献报道的合成产率较低,技术难度大,致使很难批量合成。所以研究产率高、合成工艺简单的合成方法非常有必要的。

1,5-环辛二烯(乙酰丙酮)铱(I) [Ir(acac)(cod)]是一种较为理想的 MOCVD 前驱体,以其为铱涂层材料进行 MOCVD 镀膜,具有很好的热稳定性、挥发性,镀膜厚度均匀,得到高品质的铱膜^[5]。因此,发展 Ir(acac)(cod)低成本的合成新方法,对促进其在 MOCVD 中的应用具有极其重要的学术价值和现实意义。

本文研究了一种合成 Ir(acac)(cod)的方法。以常用的化合物 1,5-环辛二烯氯化铱(I)二聚体

收稿日期: 2017-07-01

基金项目:云南省基础研究计划项目(2017FD212)、云南省省院省校科技合作项目(2015IB019)、昆明市科技计划项目(2016-1-G-03331)。

第一作者:侯文明,男,工程师,研究方向:贵金属化学。E-mail: hwm@ipm.com.cn

^{*}通讯作者:晏彩先,女,工程师,研究方向:贵金属有机化合物的合成研究。E-mail: ycx19860706@163.com

([Ir(cod)Cl]₂)和乙酰丙酮(Hacac)为起始原料,通过 一步反应得到 Ir(acac)(cod)产品,反应步骤少,产率 高,得到的产品纯度高。

实验部分 1

1.1 试剂与仪器

[Ir(cod)Cl]₂ 二聚体为本实验室合成,其余试剂 均为国产分析纯试剂。

VARIO EL III的元素分析仪(Elementar 公司); Bruker DRX-500 核磁共振仪(Bruker 公司), 1H-NMR 和 ¹³C-NMR 以 CDCl₃作溶剂, TMS 为内标; 采用 FTS-135 型红外光谱仪, 在 400~4000 cm⁻¹ 区间进行 扫描测定。

1.2 化合物的合成

将 2.0 g (1.5 mmol) [Ir(cod)Cl]₂、5.0 g (59.5 mmol) NaHCO₃和 10 g (100.0 mmol) Hacac 加入 500 mL 圆底烧瓶中,加入 120 mL 四氢呋喃(THF)溶剂。 反应在 Schlenk 真空线条件下进行,加热至 80℃回 流反应 2 h, 溶液颜色由砖红色变为黄色。停止反应 后,冷却至室温,过滤,滤液旋转蒸发除去 THF 溶 剂。随后加入冰乙醇,并放入冰箱中静置一段时间, 有淡黄色晶体析出。过滤,并用少量乙醇洗涤2次, 真空干燥。产物为黄色蓬松粉末,称重 2.1 g,产率 为88.6%。

结果与讨论

2.1 合成方法

以[Ir(cod)Cl]₂为原料,通过使氯桥断裂,乙酰 丙酮取代氯原子合成 Ir(acac)(cod)。参考文献[6]以 [Ir(cot)。Cl]。为反应原料的合成方法,并进行优化, 缩短了反应时间,反应条件温和,产率稳定。合成 路线如图1所示。

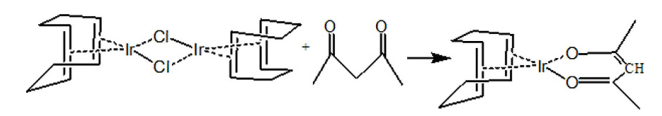


图 1 Ir(acac)(cod)的合成路线

Fig.1 Synthetic scheme of the complex Ir(acac)(cod)

2.2 配合物的结构表征

2.2.1 元素分析

样品的元素分析数据如表1所列。

表 1 样品的元素分析(质量分数)

Tab.1 Element analysis of sample(mass fraction) /%

元素	С	Н	Ir
理论值	24.18	2.02	55.34
测定值	24.19	2.01	55.32

表 1 中组成样品的 3 种元素 C、H、Ir 的质量 分数与按化学式(C₁₃H₁₉IrO₂)计算的理论值基本相 同,可判定合成产物为 Ir(acac)(cod)。

2.2.2 红外光谱

用红外光谱仪对产物进行了分析,其谱图如图 2 所示。将红外光谱图与 Ir(acac), 的红外光图谱^[7] 对比,产物主要红外吸收峰归属列于表 2。

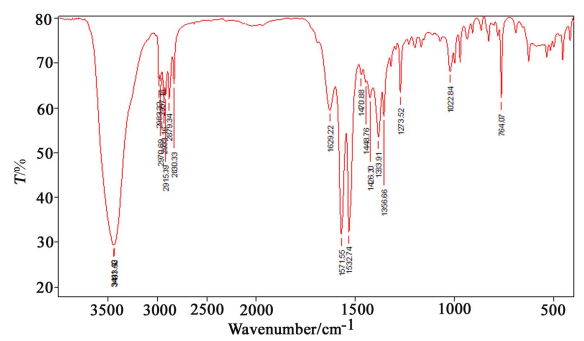


图 2 合成产物的红外谱图

Fig.2 IR spectrum of synthesized product

表 2 合成产物的红外吸收峰归属

Tab.2 IR absorption bands of synthesized product			
红外吸收峰/cm ⁻¹	谱带归属*		
3441	ν(C-H)		
2983, 2970	v(=C-H) COD		
2879, 2830, 2630, 2579	$v(-CH_2)$ COD		
1690, 1629	v(C=C) COD		
1571, 1532, 1470, 1448, 1426	v(C=O)+v(C=C)		
1383, 1356, 1321	$\delta_{\rm s}({ m CH_3})$		
1296, 1273	$v(C-CH_3)+v(C=C)$		
1199	δ (CH)+ ν (C-CH ₃)		
1168, 1155	δ (=C-H) COD		
1022	$\rho(\mathrm{CH_3})$		
936	v(C=C)+v(C=O)		
667, 656	v(C-CH ₃)+v(Ir-O)+环变形		
626	$\pi(C=C=O)$		
535	$\nu(\text{Ir-O})$		
454	$v(\text{Ir-O})+v(\text{C-CH}_3)$		
417	v(Ir-C) COD		

^{*}注:v代表伸缩振动, δ 代表变形振动, ρ 代表平面摇摆变形振动。

由表 2 红外光谱图归属分析可知,分子中存在 CH_3 、CH、 CH_2 、C=O 和 C=C 等基团,同时在 455 cm^{-1} 处出现的吸收峰归属为 Ir-O 的伸缩振动,在 417 cm^{-1} 处出现的吸收峰归属为 Ir-C 的伸缩振动。以上 红外光谱特征均与 Ir(acac)(cod)相符。

2.2.3 核磁共振谱

用核磁共振仪测试了产物的 13 C-NMR、 1 H-NMR, 谱图如图 3、4 所示。

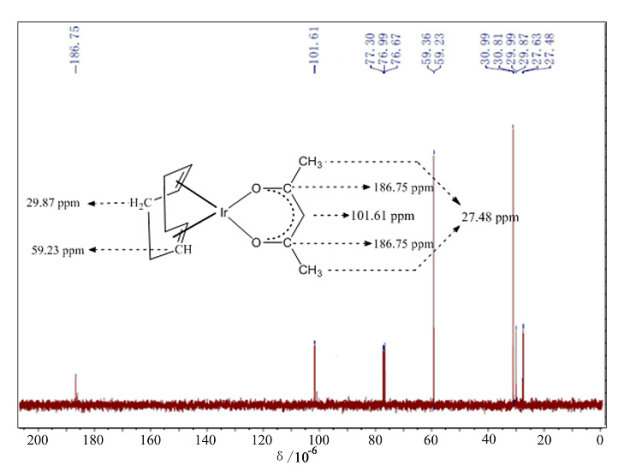


图 3 合成产物的 ¹³C-NMR 谱

Fig.3 ¹³C NMR spectrum of synthesized product

从图 3 可知,在 13 C 化学位移 $\delta(/10^6)$ 为 77 的 3 重峰归属于氘代氯仿溶剂峰。Ir(acac)(cod)中,1,5-环辛二烯上有 2 组化学环境不同的碳, δ 为 59 和 29.87~30.99 分别对应 1,5-环辛二烯上的双键碳和单键碳。其余 3 组共振峰, δ 为 27.48、101.61 和 186.75 分别归属于甲基碳、次甲基碳和乙酰丙酮基团中的变形羰基碳,与 Ir(acac)(cod)理论化学式一致。

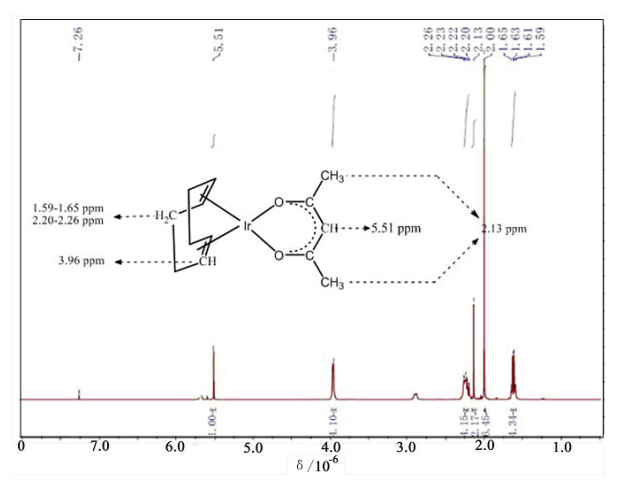


图 4 合成产物的 ¹H-NMR 谱

Fig.4 ¹H NMR spectra of synthesized product

图 4 中 1 H 化学位移 $\delta(/10^{-6})$ 为 7.26 处的共振峰为氘代氯仿溶剂峰。结合谱图数据, δ 为 1.59~1.65 和 2.20~2.26 处的共振峰归属为 1,5-环辛二烯上-CH₂ 氢原子共振峰。 δ 为 3.96 处的共振峰归属为=CH 上氢原子的共振峰。其余还有 2 个共振峰为(acac)"的氢原子,5.51 和 2.13 处的共振峰对应于配体(acac)"的 1 个 γ -H 和 2 个甲基上氢原子。以 γ -H 的积分面积为 1,则 γ -H:CH₂:CH:CH₃ 的积分面积比为 1:8:4:6,与 Ir(acac)(cod)化学结构式一致。

3 结论

通过对合成原料比例的调整以及合成方法的优化,获得了步骤简单、产率高的合成 1,5-环辛二烯(乙酰丙酮)铱(I) [Ir(acac)(cod)]的方法,产率大于88%。元素分析、红外光谱分析和核磁共振谱表征确认了合成产物的分子结构。

参考文献:

- [1] PHILIPE SERP, ROSELYNE FEURER, PHILIP KALCK, et al. A new MOCVD iridium precursor for thin films deposition[J]. Chemical Vapor Deposition, 2001, 7(2): 59-62.
- [2] MACHIN B A, LEMAR P A. Development methods of depositing iridium coating on graphite[M]. 1968: 67-82
- [3] CHEN Y L, LIU C S, CHI Y, et al. Deposition of iridium thin films using new IrI CVD precursors[J]. Chemical vapor deposition, 2002, 8(1): 17-20.
- [4] MOROZOVA N B, SEMYANNIKOV P P, TRUBIN S V, et al. Vapor pressure of some volatile iridium(I) compounds with carbonyl, acetylacetonate and cyclopentadienyl ligands[J]. Journal of thermal analysis and calorimetry, 2009, 96(1): 261-266.
- [5] GARCIA J R V, GOTO T. Chemical vapor deposition of iridium, platinum, rhodium and palladium[J]. Materials transactions, 2003, 44(9): 1717-1728.
- [6] BÖTTCHER H C, GRAF M, SÜNKEL K, et al. [Ir(acac)(η₂-C₈H₁₄)₂]: A precursor in the synthesis of cyclometalated iridium(III) complexes[J]. Inorganica chimica acta, 2011, 365(1): 103-107.
- [7] 闫格新, 刘伟平, 高文桂, 等. 三(乙酰丙酮)合铱(III)的 谱学性质研究[J]. 贵金属, 2004, 25(2): 24-27.